

Représentations adaptées à l'arithmétique modulaire et à la résolution de systèmes flous

Soutenance de thèse de Jérémy Marrez

Dirigée par Jean-Claude Bajard
et co-encadrée par Lokmane Abbas-Turki

EDITE de Paris (ED 130)
Sorbonne Université

6 décembre 2019

Présentée devant le jury composé de

Marine Minier, Université de Lorraine (rapporteur)
Clément Pernet, Université Grenoble Alpes (rapporteur)
Louis Goubin, UVSQ
Annick Valibouze, Sorbonne Université
Jean-Claude Bajard, Sorbonne Université
Lokmane Abbas-Turki, Sorbonne Université

Contexte : arithmétique modulaire en cryptographie asymétrique

- Exponentiations modulaires présentes dans la plupart des cryptosystèmes asymétriques : calcul du reste dans la division euclidienne de g^e par un *modulo* p connu

$$g^e \bmod p$$

- ➔ multiplications modulaires : calcul du produit ab , suivi d'une *réduction modulaire*

$$r = ab + qp, \quad \text{avec } r < p.$$

Modulo dans les cryptosystèmes asymétriques

- Modulo fixé par le protocole
 - RSA introduit par Rivest, Shamir et Adelman en 1978 : modulo de taille 1024 bits au moins
 - Modulo premier, standardisé dans les applications cryptographiques
 - Protocoles d'échange des clés Diffie Hellman en 1976 et chiffrement ElGamal en 1984 : modulo de taille 1024 bits au moins
 - Cryptographie sur les courbes elliptiques en 1985 (Koblitz) : modulo de taille 160 bits au moins.
- L'exponentiation devient une multiplication : k scalaire, P générateur du groupe des points à coordonnées dans $\mathbb{Z}/p\mathbb{Z}$: kP

Premières avancées pour les implantations des protocoles d'ECC qui imposent la taille du modulo p , non son type

- ▶ Classes de nombres adaptées à l'arithmétique modulaire proposées dès 1981

$$\text{Mersenne}$$
$$p = 2^n - 1$$

Knuth, 1981

- division par une puissance de 2 réduite à un décalage de bits
- ✗ mersenne premiers rares : pas de premiers pour les tailles cryptographiques qui nous intéressent

Premières avancées pour les implantations des protocoles d'ECC qui imposent la taille du modulo p , non son type

- ▶ Classes de nombres adaptées à l'arithmétique modulaire proposées dès 1981

Mersenne
 $p = 2^n - 1$

Knuth, 1981

Pseudo Mersenne
 $p = 2^n - c$

Crandall, 1992

- division par une puissance de 2 réduite à un décalage de bits
- ✗ mersenne premiers rares : pas de premiers pour les tailles cryptographiques qui nous intéressent
- conseillée pour de petits moduli
- ✗ plusieurs multiplications ajoutées avec un surcoût non négligeable

Premières avancées pour les implantations des protocoles d'ECC qui imposent la taille du modulo p , non son type

- ▶ Classes de nombres adaptées à l'arithmétique modulaire proposées dès 1981

Mersenne
 $p = 2^n - 1$

Knuth, 1981

Pseudo Mersenne
 $p = 2^n - c$

Crandall, 1992

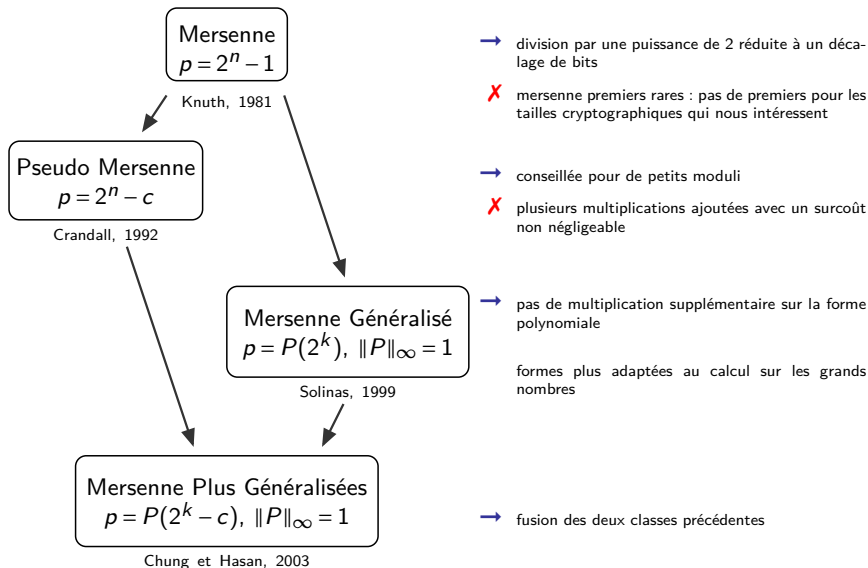
Mersenne Généralisé
 $p = P(2^k), \|P\|_\infty = 1$

Solinas, 1999

- division par une puissance de 2 réduite à un décalage de bits
- ✗ mersenne premiers rares : pas de premiers pour les tailles cryptographiques qui nous intéressent
- conseillée pour de petits moduli
- ✗ plusieurs multiplications ajoutées avec un surcoût non négligeable
- pas de multiplication supplémentaire sur la forme polynomiale
- formes plus adaptées au calcul sur les grands nombres

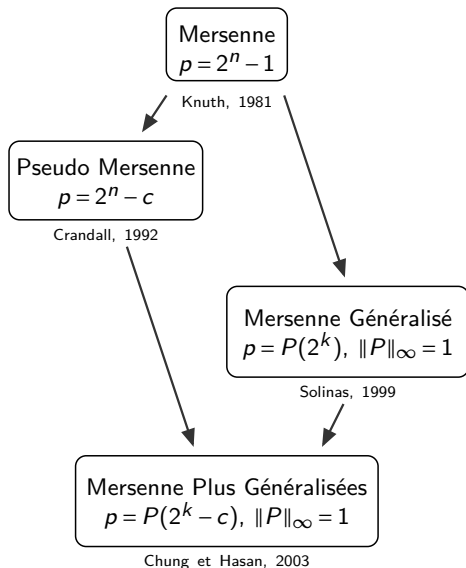
Premières avancées pour les implantations des protocoles d'ECC qui imposent la taille du modulo p , non son type

- ▶ Classes de nombres adaptées à l'arithmétique modulaire proposées dès 1981



Premières avancées pour les implantations des protocoles d'ECC qui imposent la taille du modulo p , non son type

- ▶ Classes de nombres adaptées à l'arithmétique modulaire proposées dès 1981

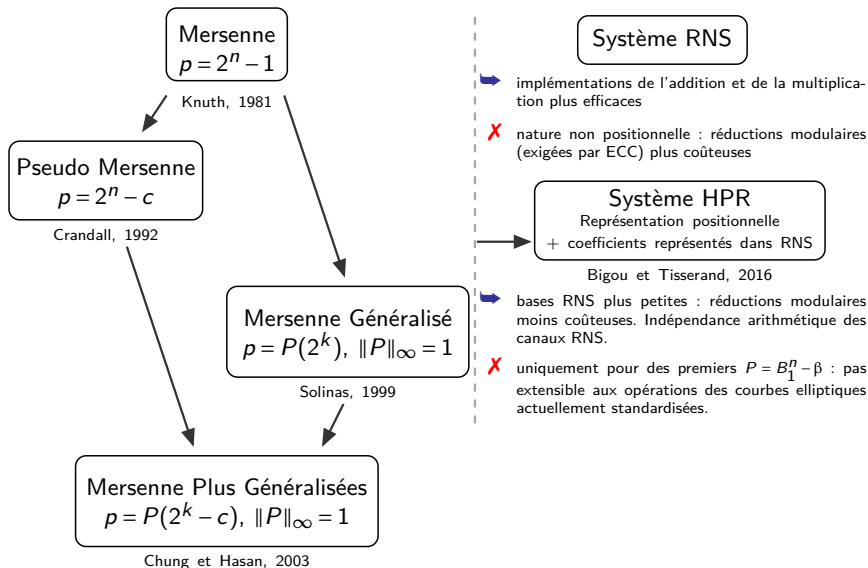


Système RNS

- ▶ implémentations de l'addition et de la multiplication plus efficaces
- ✗ nature non positionnelle : réductions modulaires (exigées par ECC) plus coûteuses

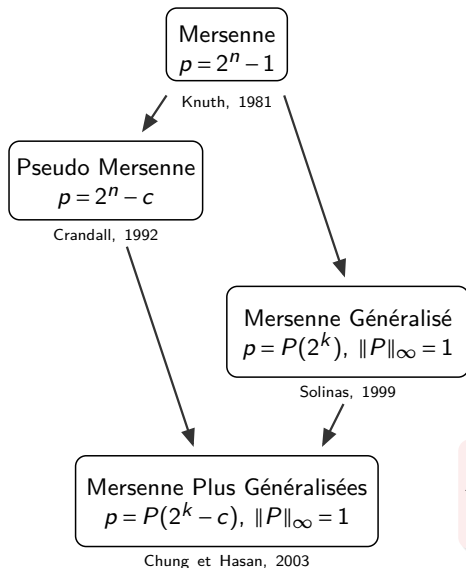
Premières avancées pour les implantations des protocoles d'ECC qui imposent la taille du modulo p , non son type

- ▶ Classes de nombres adaptées à l'arithmétique modulaire proposées dès 1981



Premières avancées pour les implantations des protocoles d'ECC qui imposent la taille du modulo p , non son type

- ▶ Classes de nombres adaptées à l'arithmétique modulaire proposées dès 1981



Système RNS

- ▶ implémentations de l'addition et de la multiplication plus efficaces
- ✗ nature non positionnelle : réductions modulaires (exigées par ECC) plus coûteuses

Système HPR

Représentation positionnelle
+ coefficients représentés dans RNS

Bigou et Tisserand, 2016

- ▶ bases RNS plus petites : réductions modulaires moins coûteuses. Indépendance arithmétique des canaux RNS.
- ✗ uniquement pour des premiers $P = B_1^n - \beta$: pas extensible aux opérations des courbes elliptiques actuellement standardisées.

Principal inconvénient de ces approches

Ne garantissent une réduction efficace que sur une classe restreinte de moduli avec des propriétés spécifiques.

- ▶ Le choix du modulo n'est pas possible.

Protocoles imposent certaines propriétés sur le modulo

► utiliser des algorithmes fonctionnant pour tout les moduli

Algorithmes généralistes

Réduction intégrée
à la multiplication

Taylor

1981

Blakley

1983

Takagi

1986

➡ adapté aux
petits moduli

Réduction indépendante
de la multiplication

Montgomery

1986

Barrett

1987

PMNS

2004

➡ + efficace sur de
grands moduli

Protocoles imposent certaines propriétés sur le modulo

- utiliser des algorithmes fonctionnant pour tout les moduli

Algorithmes généralistes

Réduction intégrée
à la multiplication

Taylor

1981

Blakley

1983

Takagi

1986

➡ adapté aux
petits moduli

Réduction indépendante
de la multiplication

Montgomery

1986

Barrett

1987

PMNS

2004

➡ + efficace sur de
grands moduli

➡ réduction réduite à une division par une puissance de la base : décalage de bits

✗ représentation particulière des nombres, nécessite des conversions

Protocoles imposent certaines propriétés sur le modulo

- utiliser des algorithmes fonctionnant pour tout les moduli

Algorithmes généralistes

Réduction intégrée à la multiplication

Taylor

1981

Blakley

1983

Takagi

1986

➡ adapté aux
petits moduli

Réduction indépendante de la multiplication

Montgomery

1986

Barrett

1987

PMNS

2004

➡ + efficace sur de
grands moduli

➡ réduction réduite à une division par une puissance de la base : décalage de bits

✗ représentation particulière des nombres, nécessite des conversions

➡ approche le calcul du quotient avec une représentation classique

✗ coût proche de celui de l'algorithme de Montgomery

Protocoles imposent certaines propriétés sur le modulo

- utiliser des algorithmes fonctionnant pour tout les moduli

Algorithmes généralistes

Réduction intégrée à la multiplication

Taylor

1981

Blakley

1983

Takagi

1986

➡ adapté aux
petits moduli

Réduction indépendante de la multiplication

Montgomery

1986

Barrett

1987

PMNS

2004

➡ + efficace sur de
grands moduli

➡ réduction réduite à une division par une puissance de la base : décalage de bits

✗ représentation particulière des nombres, nécessite des conversions

➡ approche le calcul du quotient avec une représentation classique

✗ coût proche de celui de l'algorithme de Montgomery

➡ algorithmes plus efficaces que ceux de Montgomery et Barrett

✗ pour un modulo donné, peu de systèmes construits en pratique

Approche

- Proposer une arithmétique modulaire efficace pour le plus grande nombre de moduli premiers possible
- La prémunir contre certains types d'attaques comme les attaques par canaux cachés et de Goubin

Trois objectifs majeurs

- Fournir de nouvelles bases de systèmes de représentation modulaires, en garantissant une arithmétique engendrée efficace
- Exploiter la redondance intrinsèque aux systèmes pour effectuer des changements de représentation des données au cours du calcul
- En parallèle de cette recherche en cryptographie, établir de nouvelles méthodes pour optimiser la résolution réelle des systèmes flous

Plan

- Construction de systèmes PMNS pour un premier donné
- Randomisation de l'arithmétique sur le PMNS
- Présentation d'un système de représentation hybride
- Résolution réelle des systèmes polynomiaux flous
- Conclusion

Plan

- Construction de systèmes PMNS pour un premier donné
- Randomisation de l'arithmétique sur le PMNS
- Présentation d'un système de représentation hybride
- Résolution réelle des systèmes polynomiaux flous
- Conclusion

Bornes et existence des PMNS sur $\mathbb{Z}/p\mathbb{Z}$

Opérations modulaires présentes dans les algorithmes de cryptographie à clé publique actuels : RSA, l'échange de clés Diffie-Hellman et ECC.

Système de représentation adapté polynomial (PMNS) introduit en 2004

- ▶ une implémentation d'une arithmétique modulaire efficace **impliquant uniquement des additions et des multiplications**
- ▶ une arithmétique polynomiale rapide et parallélisation facile **pour un modulo arbitraire**
- ▶ des algorithmes plus efficaces que les méthodes sans division connues telles que Montgomery et Barrett

$$\mathfrak{B} = (p, n, \gamma, \rho)_{E(X)}$$

$E(X) \in \mathbb{Z}[X]$, *polynôme de réduction*; unitaire de degré n

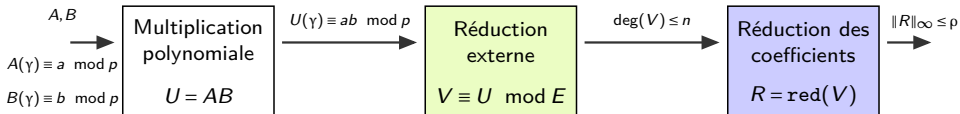
$a \bmod p \xrightarrow{\text{dans } \mathfrak{B}} A = (a_{n-1}, \dots, a_0)$ avec

et $E(\gamma) \equiv 0 \pmod{p}$

$$a \bmod p \equiv \sum_{i=0}^{n-1} a_i \gamma^i \bmod p,$$

où $a_i \in \mathbb{N}$, $|a_i| < p$, $1 < \gamma < p$.

Opérations sur les représentations d'un PMNS



Existence d'un PMNS

Restrictions du théorème d'existence

- Théorème existant prouve l'existence d'**au moins un PMNS** pour un entier p , pour $E(X) = X^n + aX + b$ satisfaisant certaines hypothèses.
- Construire de tels systèmes à partir d'un p **n'est pas trivial** :
 - chercher un $E(X)$ **satisfaisant les conditions** du théorème
 - et l'une de ses racines dans $\mathbb{Z}/p\mathbb{Z}$

Approche

Fournir **autant de bases PMNS que possible** pour un modulo fixé, avec une arithmétique efficace, pour

- obtenir des bases **PMNS avec leurs propres propriétés de calcul**
- Utiliser les différentes représentations pour **masquer les calculs**

Lien entre l'existence d'un PMNS et son réseau associé

Nous considérons le réseau associé au PMNS :

$$\mathfrak{L} = \{P(X) \in \mathbb{Z}[X], \text{ tel que : } \deg(P(X)) < n \text{ et } P(\gamma) \equiv 0 \pmod{p}\}.$$

Theorem

Soit p premier, $n > 1$, $E(X) \in \mathbb{Z}[X]$ de degré n et γ une de ses racines dans $\mathbb{Z}/p\mathbb{Z}$.
Soit r le rayon de recouvrement de \mathfrak{L} , si $\rho > r$, alors $\mathfrak{B} = (p, n, \gamma, \rho)_E$ est un PMNS.

Introduction d'une borne sur ρ à partir d'une base de \mathfrak{L}

Nous considérons $B = \{B_0, \dots, B_{n-1}\}$ une base de \mathfrak{L} et \mathbf{B} sa matrice associée.

Démonstration.

Idée : borner la distance entre un point de \mathbb{R}^n et son point le plus proche dans \mathfrak{L} en utilisant une approche « round-off » de Babai. □

Theorem

Si $\rho \geq \frac{1}{2} \|\mathbf{B}\|_1$, alors $\mathfrak{B} = (p, n, \gamma, \rho)_E$ est un PMNS.

Méthodes pour construire une base de \mathcal{L}

- ▶ Stratégie 1 : calculer une base réduite de \mathcal{L} via LLL, BKZ ou HKZ

Les stratégies suivantes lorsque $E(X)$ est irréductible :

Soit \mathbf{C} la matrice compagnon de $E(X)$

$V \cdot \mathbf{C}^i$ correspond à $X^i \cdot V(X) \bmod E(X)$, pour $0 \leq i < n$

\mathbf{A} une base de \mathcal{L}

- ▶ Stratégie 2 :
 - choisir un vecteur court non nul $V \in \mathcal{L}$
 - construire \mathbf{B} la matrice $n \times n$ dont la i -ième ligne est le vecteur $V \cdot \mathbf{C}^i$
 - \mathbf{B} base d'un sous-réseau $\mathcal{L}' \subseteq \mathcal{L}$ de rang n , $V \in \mathcal{L}'$ (Corollaire I.2.1)
- ▶ Stratégie 3 :
 - choisir un vecteur court non nul $(V_0 | V_1 | \dots | V_{n-1})$ de \mathcal{L}_D , le réseau de rang n dans \mathbb{Z}^{n^2} défini par $\mathbf{D} = (\mathbf{A} | \mathbf{A} \cdot \mathbf{C}^1 | \dots | \mathbf{A} \cdot \mathbf{C}^{n-1})$
 - à construire la famille $B = (V_0, V_1, \dots, V_{n-1})$ de \mathcal{L}
 - B est une base de $\mathcal{L}' \subseteq \mathcal{L}$, $V_0 \in \mathcal{L}$. (Corollaire I.2.2)

Exemples : Calcul de $\|\mathbf{B}\|_1$ pour chaque approche de base réduite

$p = 112848483075082590657416923680536930196574208889254960005437791530871071177777$

$n = 8, E(X) = X^8 + X^2 + X + 1,$

$\gamma = 14916364465236885841418726559687117741451144740538386254842986662265545588774$

LLL : $\|\mathbf{B}\|_1 = 16940155314$ BKZ : $\|\mathbf{B}\|_1 = 15289909984$

HKZ : $\|\mathbf{B}\|_1 = 15289909984$

Cor. I.2.1 : $\|\mathbf{B}\|_1 = 13881325101$ Cor. I.2.2 : $\|\mathbf{B}\|_1 = 12883199915$

$p = 96777329138546418411606037850670691916278980249035796845487391462163262877831$

$n = 8, E(X) = X^8 - X^4 - 1,$

$\gamma = 66378119609141043317728290217053385256449145407556727004132373270146455575461$

LLL : $\|\mathbf{B}\|_1 = 17955608045$ BKZ : $\|\mathbf{B}\|_1 = 17955608045$

HKZ : $\|\mathbf{B}\|_1 = 17955608045$

Cor. I.2.1 : $\|\mathbf{B}\|_1 = 11628752571$ Cor. I.2.2 : $\|\mathbf{B}\|_1 = 10489321362$

➡ les deux dernières approches offrent les meilleurs résultats pour $E(X)$ avec de petits coefficients.

Proposer des polynômes de réduction adaptés au PMNS

Definition

Un polynôme $E(X)$ est *un polynôme de réduction adapté au PMNS*, si :

- $E(X)$ est irréductible dans $\mathbb{Z}[X]$,
 - rendre applicables l'ensemble des stratégies précédentes
- $E(X) = X^n + a_k X^k + \dots + a_1 X + a_0 \in \mathbb{Z}[X]$, avec $n \geq 2$ et $k \leq \frac{n}{2}$,
 - réduction polynomiale de $T(X)$ modulo $E(X)$ réalisée en deux étapes quand $\deg(T(X)) \leq 2n$
- la plupart des coefficients sont nuls, et les autres sont très petits (si possible égaux à ± 1) par rapport à $p^{1/n}$.
 - donner une borne sur les coefficients de $T(X) \bmod E(X)$

ClassCyclo(n)

Proposition

$\text{ClassCyclo}(n) \neq \emptyset$ si et seulement si $n = 2^i 3^j$ avec $i \geq 0, j \geq 0$.

Plus précisément, $\text{ClassCyclo}(n)$ se compose des cyclotomiques

- $\Phi_{2^i}(X) = X^{2^{i-1}} + 1$, quand $n = 2^i$ avec $i \in \mathbb{N}^*$,
 - $\Phi_{3^j}(X) = X^{2 \cdot 3^{j-1}} + X^{3^{j-1}} + 1$, quand $n = 2 \cdot 3^j$ avec $j \in \mathbb{N}^*$,
 - $\Phi_{2^i \cdot 3^j}(X) = X^{2^i \cdot 3^{j-1}} - X^{2^{i-1} \cdot 3^{j-1}} + 1$, quand $n = 2^i \cdot 3^j$ pour $i, j \in \mathbb{N}^*$.
- ➡ Preuve : propriétés relatives aux cyclotomiques, connus comme étant irréductibles.

$\text{ClassBinomial}(n, c)$: binôme de réduction adapté $\{X^n + c\}$

$\text{TrinomialClass}(n)$: trinômes de réduction adaptés de degré n

$\text{QuadrinomialClass}(n)$: quadrinômes de réduction adaptés de degré n

$\text{ClassPrimeCst}(n, \mu)$: coefficients dans $\{-1, 0, 1\}$ + un coefficient constant μ premier

$\text{ClassPerron}(n, a_1)$: coefficients dans $\{-1, 0, 1\}$ + un coefficient a_1 en X entier

Compter le nombre de PMNS constructibles pour un modulo premier

Proposition (Cas $E(X)$ est cyclotomique)

Soit $p > 2$ un premier, et un entier $m \geq 3$ tel que $m \mid (p-1)$ alors $\Phi_m(X)$ a $\varphi(m)$ racines dans $\mathbb{Z}/p\mathbb{Z}$ (φ l'indicatrice d'Euler).

Bornes sur les chiffres des PMNS obtenus à partir de ClassCyclo(4) pour $p = 22777$

$E(X)$	γ	ρ_{\min}	$\frac{1}{2} \ B\ _1$	$\frac{1}{2} \ D\ _1$	$\frac{1}{2} \ LLL(A)\ _1$
$X^4 + 1$	19189	9	11.5	11.5	17.5
	11890	9	11.5	11.5	17.5
	10887	9	11.5	11.5	17.5
	3588	9	11.5	11.5	17.5
$X^4 - X^2 + 1$	22191	9	13.5	13.5	16.5
	17452	9	13.5	13.5	16.5
	5325	9	13.5	13.5	16.5
	586	9	13.5	13.5	16.5

Proposition (Cas $E(X)$ est un binôme)

Soit $E(X) = X^n + c$ un élément de ClassBinomial(n, c). Soit g un générateur de $(\mathbb{Z}/p\mathbb{Z})^\times$ et y tel que $g^y \equiv -c \pmod{p}$.

Si $\text{pgcd}(n, p-1)$ divise y , alors, $E(X) = X^n + c$ a $\text{pgcd}(n, p-1)$ racines distinctes dans $\mathbb{Z}/p\mathbb{Z}$.

Proposition (Cas général $E(X)$ irréductible)

Soit p premier, $n > 2$, $E(X)$ de degré n et irréductible dans $\mathbb{Z}[X]$, et $D(X) = \text{pgcd}(X^p - X, E(X)) \pmod{p}$.

Il existe $\text{deg}(D(X))$ systèmes PMNS $(p, n, \gamma_j, \rho)_{E(X)}$.

Exemple : calcul du nombre de PMNS constructible à partir d'un premier

On choisit

- un premier p sur 256 bits,
 $p = 57896044618658097711785492504343953926634992332820282019728792003956566811073$
- un nombre de chiffres $n = 8$, i.e. $\rho \sim 2^{32}$,
- Les classes de polynômes adaptées au PMNS, telles que $\|E\|_{\infty} \leq 7$.

ClassCyclo(n) : 8 systems

TrinomialClass(n) : 24 systems

QuadrinomialClass(n) : no system

ClassBinomials($n,3$) : no system

ClassBinomials($n,4$) : no system

ClassBinomials($n,5$) : no system

ClassBinomials($n,6$) : 16 systems

ClassBinomials($n,7$) : no system

ClassPrimeCst($n,3$) : 6 systems

ClassPrimeCst($n,5$) : 158 systems

ClassPrimeCst($n,7$) : 190 systems

ClassPerron($n,3$) : 8 systems

ClassPerron($n,4$) : 38 systems

ClassPerron($n,5$) : 78 systems

ClassPerron($n,6$) : 104 systems

ClassPerron($n,7$) : 112 systems

► Pour ce premier p et $n = 8$, on trouve 742 systèmes.

Synthèse

- Formalisation du lien entre l'existence d'un PMNS et son réseau euclidien
 - ✓ nouvelle borne sur la taille des chiffres à partir de la norme 1 du réseau
- Méthodes pour construire des bases d'un sous-réseau
- Introduction de classes de polynômes de réduction spécifiques
 - ✓ Réductions efficaces au sein du système
 - ✓ Les racines fournissent les bases de ces systèmes
- Méthodes pour compter le nombre de systèmes obtenus en fonction du polynôme de réduction
 - ✓ Offrir pour un modulo premier donné une grande variété de PMNS

Perspectives

- Recherche de nouvelles classes de polynômes de réduction
- Étude des PMNS définis par un polynôme réductible

Plan

- Construction de systèmes PMNS pour un premier donné
- Randomisation de l'arithmétique sur le PMNS
- Présentation d'un système de représentation hybride
- Résolution réelle des systèmes polynomiaux flous
- Conclusion

Attaques en ECC

Résistance aux attaques SCA

- Attaques par canaux cachés (SCA) profitent d'une fuite d'information durant l'exécution d'un protocole pour récupérer totalement ou partiellement le secret.
- SCA se sont avérés efficaces en ECC : contre-mesures doivent être inclus dans la mise en œuvre de la multiplication scalaire en ECC
- La méthode classique double et add n'est pas résistante au SCA. L'échelle Montgomery et sa variante sont plus résistantes mais peuvent être attaquées.

Idée

- Introduire la randomisation au niveau arithmétique

Utiliser une représentation aléatoire du point P chaque fois que ce point est utilisé pendant l'algorithme de multiplication scalaire

- assurer la résistance aux SCA et à des attaques de points spécifiques

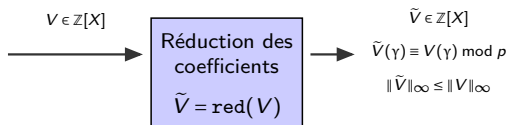
- Les coordonnées de P sont représentées en PMNS

- ✓ Nous utilisons la redondance du PMNS pour randomiser les coordonnées

Randomisation des entrées et de la multiplication

Approche

- Randomiser la multiplication scalaire de deux façons :
 - Randomisation de chaque coordonnée initiale de P en utilisant une procédure de conversion appropriée, assurant la résistance aux SCA et aux attaques de points spécifiques
 - Randomisation de chaque multiplication entre deux éléments dans la représentation PMNS pour être plus résistant aux SCA



- Réduction utilisée dans les primitives PMNS : multiplication et conversion.
- Deux méthodes pour effectuer cette procédure.

Réduction des coefficients de type Montgomery

Require: $V \in \mathbb{Z}[X]$ tel que $\deg(V) < n$;

$\mathcal{B} = (p, n, \gamma, \rho)_E$;

un entier r non nul

$M \in \mathcal{B}$, tel que $M(\gamma) \equiv 0 \pmod{p}$ et

$M' = -M^{-1} \pmod{(E, r)}$.

- r est souvent une puissance de 2 pour garantir une division exacte par r rapide
- M' existe si et seulement si $\text{pgcd}(\text{resultant}(E, M), r) = 1$

Ensure: $R(\gamma) \equiv V(\gamma)r^{-1} \pmod{p}$

1: $Q \leftarrow V \times M' \pmod{(E, r)}$

2: $R' \leftarrow V + (Q \times M) \pmod{E}$

- 2 : $R'(\gamma) \equiv V(\gamma) \pmod{p}$,
coefficients de R' divisibles par r

3: $R \leftarrow R'/r$

4: return R

- 4 : $R(\gamma) \equiv V(\gamma)r^{-1} \pmod{p}$.

Introduction d'un aléa dans la primitive de réduction des coefficients du PMNS



- randomPoly est considérée comme sûre.
- les coefficients de Z sont générés en utilisant la distribution uniforme.
- exactement $(2z + 1)^n$ sorties possibles Z

Randomisation de la conversion via Montgomery

Trois conditions pour la randomisation

- $M(\gamma) \equiv 0 \pmod{p}$
 - $A(\gamma) \pmod{p}$ n'est pas modifié
- Calculs modulo E et r permettent de donner borne sur ρ .
 - Résultat dans \mathcal{B}
- $\text{pgcd}(E, M) = 1$ dans $\mathbb{Q}[X]$
 - Si $Z \neq Z'$ alors les sorties sont distinctes

Algorithme 1 Conversion randomisée vers le PMNS via Montgomery

Require: $a \in \mathbb{Z}/p\mathbb{Z}$ et $\mathcal{B} = (p, n, \gamma, \rho, E)$

Ensure: $A(\gamma) \equiv ar \pmod{p}$

Data : $P_i \equiv (\rho^i)_{\mathcal{B}}$, pour $i=0, \dots, n-1$, $z \in \mathbb{N}$, $r = 2^j$, $j \geq 1$ et $M \in \mathcal{B}$ avec $M(\gamma) \equiv 0 \pmod{p}$ et $\text{pgcd}(r, \text{resultant}(E, M)) = 1$.

1: $Z \leftarrow \text{randPoly}(z)$

2: $a' \leftarrow ar^2 \pmod{p}$

3: $b \leftarrow (a'_{n-1}, \dots, a'_0)_\rho$

4: $U \leftarrow \sum_{i=0}^{n-1} a'_i P_i$

5: $V \leftarrow U + ((r+1)Z \times M) \pmod{E}$

6: $A \leftarrow \text{RedCoeff}(V)$

7: **return** A

Theorem

Nous considérons :

- $\mathcal{B} = (p, n, \gamma, \rho, E)$ un PMNS
- $a \in \mathbb{Z}/p\mathbb{Z}$
- $r = 2^j$, $j \geq 1$
- $M \in \mathcal{B}$ tel que $M(\gamma) \equiv 0 \pmod{p}$ et $\text{pgcd}(r, \text{resultant}(E, M)) = 1$, $m = \|M\|_\infty$
- z l'entrée de la procédure `randPoly`

comme entrées et données de l'Algorithme. Si ρ et r satisfont

$$\rho \geq 2nsm \left(1 + z + \frac{z}{r}\right) \quad \text{et} \quad r \geq 2nsp,$$

alors l'Algorithme 1 peut générer $(2z+1)^n$ sorties distinctes uniformément distribuées, toutes représentant a dans \mathcal{B} .

$$A = \begin{pmatrix} p & 0 & \dots & \dots & 0 & 0 \\ -\gamma & 1 & \dots & \dots & 0 & 0 \\ \vdots & \ddots & \ddots & & \vdots & \vdots \\ 0 & \dots & -\gamma & 1 & \dots & 0 \\ \vdots & & & \ddots & \ddots & \vdots \\ 0 & 0 & \dots & \dots & -\gamma & 1 \end{pmatrix}$$

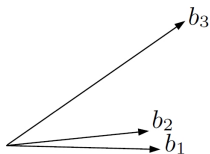


FIGURE – Réduction via Babai en dimension 3. Les hyperplans sélectionnés sont verts.

Data : $B = \{b_i, 1 \leq i \leq n\}$ la base LLL réduite de $\mathcal{L}_{\mathcal{B}}$

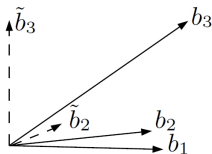


FIGURE – Réduction via Babai en dimension 3. Les hyperplans sélectionnés sont verts.

Data : $B = \{b_i, 1 \leq i \leq n\}$ la base LLL réduite de $\mathcal{L}_{\mathcal{B}}$

$\tilde{B} = \{\tilde{b}_i, 1 \leq i \leq n\}$ la base Gram-Schmidt obtenue à partir de B .

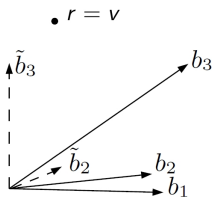


FIGURE – Réduction via Babai en dimension 3. Les hyperplans sélectionnés sont verts.

Require: $V \in \mathbb{Z}[X]$ with $\deg(V) < n$, $\mathcal{B} = (p, n, \gamma, \rho, E)$

Data : $B = \{b_i, 1 \leq i \leq n\}$ la base LLL réduite de $\mathcal{L}_{\mathcal{B}}$

$\tilde{B} = \{\tilde{b}_i, 1 \leq i \leq n\}$ la base Gram-Schmidt obtenue à partir de B .

1: $r \leftarrow v$

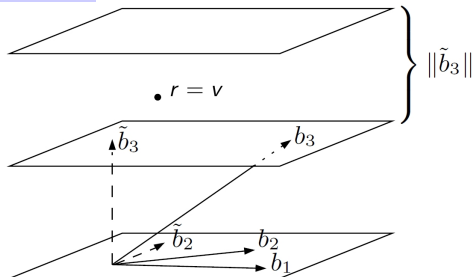


FIGURE – Réduction via Babai en dimension 3. Les hyperplans sélectionnés sont verts.

Require: $V \in \mathbb{Z}[X]$ with $\deg(V) < n$, $\mathcal{B} = (p, n, \gamma, \rho, E)$

Data : $B = \{b_i, 1 \leq i \leq n\}$ la base LLL réduite de $\mathcal{L}_{\mathcal{B}}$

$\tilde{B} = \{\tilde{b}_i, 1 \leq i \leq n\}$ la base Gram-Schmidt obtenue à partir de B .

1: $r \leftarrow v$

2: for $i=1$ to n do

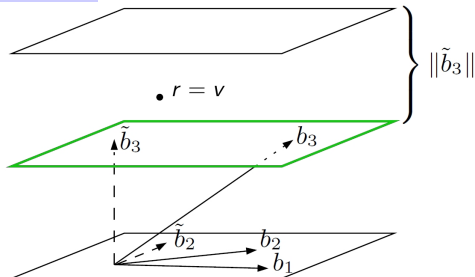


FIGURE – Réduction via Babai en dimension 3. Les hyperplans sélectionnés sont verts.

Require: $V \in \mathbb{Z}[X]$ with $\deg(V) < n$, $\mathcal{B} = (p, n, \gamma, \rho, E)$

Data : $B = \{b_i, 1 \leq i \leq n\}$ la base LLL réduite de $\mathcal{L}_{\mathcal{B}}$

$\tilde{B} = \{\tilde{b}_i, 1 \leq i \leq n\}$ la base Gram-Schmidt obtenue à partir de B .

1: $r \leftarrow v$

2: **for** $i = 1$ **to** n **do**

3: $c \leftarrow \lfloor \langle r, \tilde{b}_{n-i+1} \rangle / \|\tilde{b}_{n-i+1}\|^2 \rfloor$

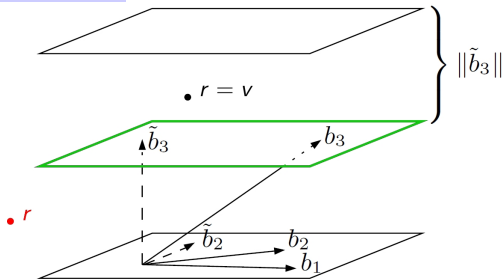


FIGURE – Réduction via Babai en dimension 3. Les hyperplans sélectionnés sont verts.

Require: $V \in \mathbb{Z}[X]$ with $\deg(V) < n$, $\mathcal{B} = (p, n, \gamma, \rho, E)$

Data : $B = \{b_i, 1 \leq i \leq n\}$ la base LLL réduite de $\mathcal{L}_{\mathcal{B}}$

$\tilde{B} = \{\tilde{b}_i, 1 \leq i \leq n\}$ la base Gram-Schmidt obtenue à partir de B .

1: $r \leftarrow v$

2: **for** $i=1$ **to** n **do**

3: $c \leftarrow \lfloor \langle r, \tilde{b}_{n-i+1} \rangle / \|\tilde{b}_{n-i+1}\|^2 \rfloor$

4: $r \leftarrow r - c \times b_{n-i+1}$

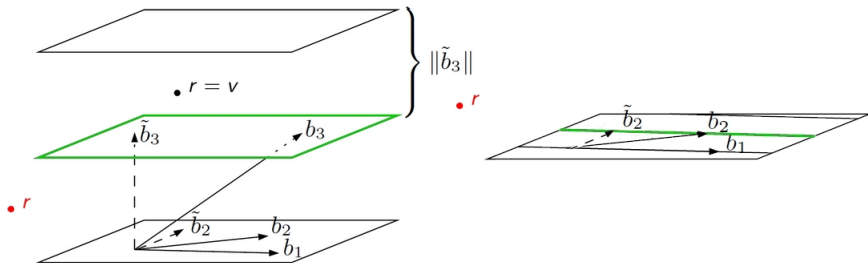


FIGURE – Réduction via Babai en dimension 3. Les hyperplans sélectionnés sont verts.

Require: $V \in \mathbb{Z}[X]$ with $\deg(V) < n$, $\mathcal{B} = (p, n, \gamma, \rho, E)$

Data : $B = \{b_i, 1 \leq i \leq n\}$ la base LLL réduite de $\mathcal{L}_{\mathcal{B}}$

$\tilde{B} = \{\tilde{b}_i, 1 \leq i \leq n\}$ la base Gram-Schmidt obtenue à partir de B .

Ensure: $r \in \mathcal{B}$ such that $\|R\|_{\infty} \leq \|V\|_{\infty}$ and $r(\gamma) = V(\gamma) \pmod{p}$

1: $r \leftarrow v$

2: for $i=1$ to n do

3: $c \leftarrow \lfloor \langle r, \tilde{b}_{n-i+1} \rangle / \|\tilde{b}_{n-i+1}\|^2 \rfloor$

4: $r \leftarrow r - c \times b_{n-i+1}$

5: end for

6: return r

- V vecteur *masque* dans $\mathcal{L}_{\mathcal{B}}$, Z vecteur *translation* dont les coeffs sont multipliés par des éléments de la base
 - $A(\gamma) \bmod p$ n'est pas modifié
- La sortie se trouve se trouve dans un rectangle connu
 - **Résultat dans \mathcal{B}**
- $\text{pgcd}(E, H) = 1$ dans $\mathbb{Q}[X]$ et chaque Z définit une suite distincte d'hyperplans pour une base donnée
 - Si $Z \neq Z'$ alors les sorties sont distinctes

Algorithme 2 Conversion randomisée vers le PMNS via Babai

Require: $a \in \mathbb{Z}/p\mathbb{Z}$ et $\mathcal{B} = (p, n, \gamma, \rho)_E$

Ensure: $A(\gamma) \equiv a \bmod p$

Data : $P_i \equiv (\rho^i)_{\mathcal{B}}$, pour $i=0, \dots, n-1$, D, \tilde{D} ,
 $v, z \in \mathbb{N}$, $M \in \mathcal{B}$ et $H \in \mathbb{Z}[X]$.

- 1: $V_0 \leftarrow \text{randPoly}(v)$, $Z_0 \leftarrow \text{randPoly}(z)$
- 2: $V \leftarrow V_0 \times M \bmod E$, $Z \leftarrow Z_0 \times H \bmod E$
- 3: $b \leftarrow (a_{n-1}, \dots, a_0)_p$
- 4: $T \leftarrow \sum_{i=0}^{n-1} a_i P_i$, $A \leftarrow T + V$
- 5: for $i=1$ to n do
- 6: $c \leftarrow \lfloor \langle A, \tilde{D}_{n-i+1} \rangle / \|\tilde{D}_{n-i+1}\|^2 \rfloor + z_{n-i}$
- 7: $A \leftarrow A - c \times D_{n-i+1}$
- 8: end for
- 9: return A

Theorem

Nous considérons :

- $\mathcal{B} = (p, n, \gamma, \rho, E)$ un PMNS.
- $a \in \mathbb{Z}/p\mathbb{Z}$
- v et z les entrées de la procédure *randPoly*
- $M \in \mathcal{B}$ tel que $M(\gamma) \equiv 0 \bmod p$ et $\text{pgcd}(E, M) = 1$ dans $\mathbb{Q}[X]$
- $H \in \mathbb{Z}[X]$ tel que $\text{pgcd}(E, H) = 1$ dans $\mathbb{Q}[X]$,
 $h = \|H\|_{\infty}$.

comme entrées et données de l'Algorithme. Si ρ satisfait

$$\rho > \left(\frac{1}{2} + nszh \right) \left(2 \frac{3n-1}{2} p^{1/n} \right),$$

alors l'Algorithme 3 peut générer $(2z+1)^n$ sorties distinctes uniformément distribuées, toutes représentant a dans \mathcal{B} .

Deux exécutions de l'algorithme de type Babai

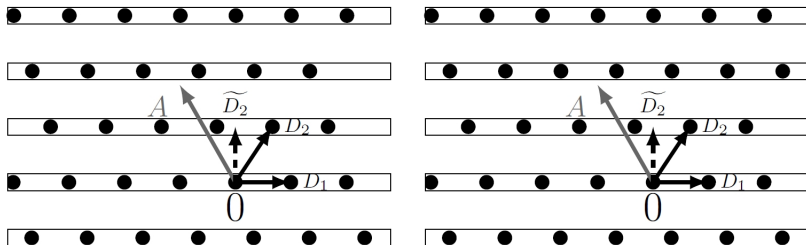


FIGURE – Réduction via Babai en dimension 2. Les hyperplans sélectionnés sont grisés ou entourés.

Non randomisé

Randomisé

$z = 1 \rightarrow$ translation $Z = (-1, 1)$

Deux exécutions de l'algorithme de type Babai

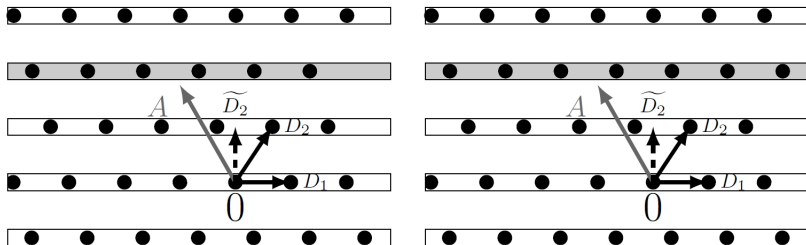


FIGURE – Réduction via Babai en dimension 2. Les hyperplans sélectionnés sont grisés ou entourés.

Non randomisé

Randomisé

$z = 1 \rightarrow$ translation $Z = (-1, 1)$

$$c \leftarrow \lfloor \langle A, \tilde{D}_2 \rangle / \|\tilde{D}_2\|^2 \rfloor$$

Deux exécutions de l'algorithme de type Babai

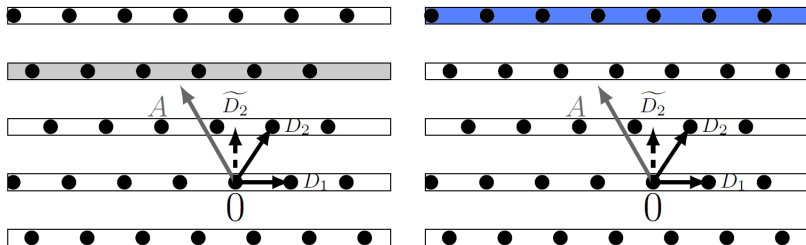


FIGURE – Réduction via Babai en dimension 2. Les hyperplans sélectionnés sont grisés ou entourés.

Non randomisé

Randomisé

$z = 1 \rightarrow$ translation $Z = (-1, \underline{1})$

$$c \leftarrow \lfloor \langle A, \tilde{D}_2 \rangle / \|\tilde{D}_2\|^2 \rfloor + Z_2$$

Deux exécutions de l'algorithme de type Babai

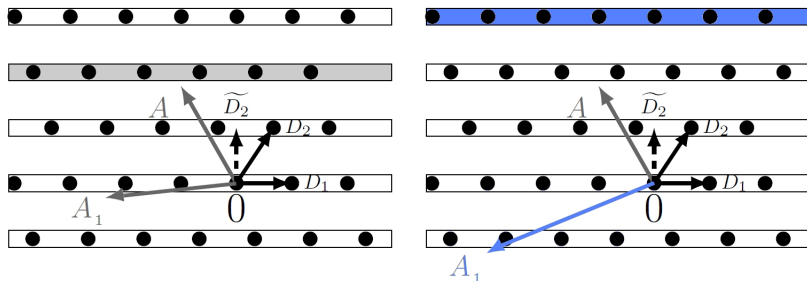


FIGURE – Réduction via Babai en dimension 2. Les hyperplans sélectionnés sont grisés ou entourés.

Non randomisé

Randomisé

$$z = 1 \rightarrow \text{translation } Z = (-1, \underline{1})$$

$$A_1 \leftarrow A - c \times D_2$$

Deux exécutions de l'algorithme de type Babai

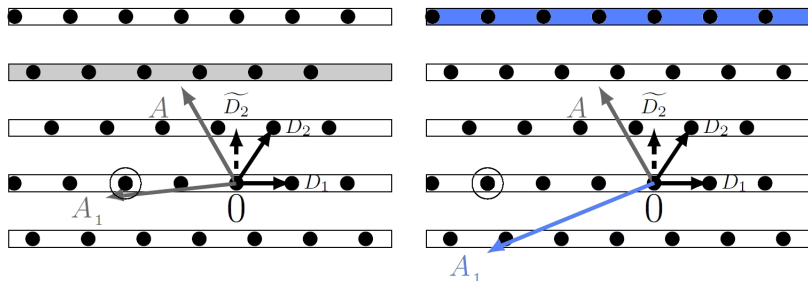


FIGURE – Réduction via Babai en dimension 2. Les hyperplans sélectionnés sont grisés ou entourés.

Non randomisé

Randomisé

$z = 1 \rightarrow$ translation $Z = (-1, \underline{1})$

$$c \leftarrow \lfloor \langle A_1, \tilde{D}_1 \rangle / \|\tilde{D}_1\|^2 \rfloor$$

Deux exécutions de l'algorithme de type Babai

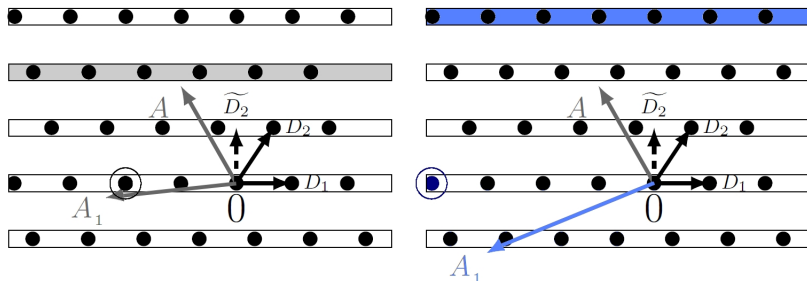


FIGURE – Réduction via Babai en dimension 2. Les hyperplans sélectionnés sont grisés ou entourés.

Non randomisé

Randomisé

$$z = 1 \rightarrow \text{translation } Z = (-1, 1)$$

$$c \leftarrow \lfloor \langle A_1, \tilde{D}_1 \rangle / \|\tilde{D}_1\|^2 \rfloor + Z_1$$

Deux exécutions de l'algorithme de type Babai

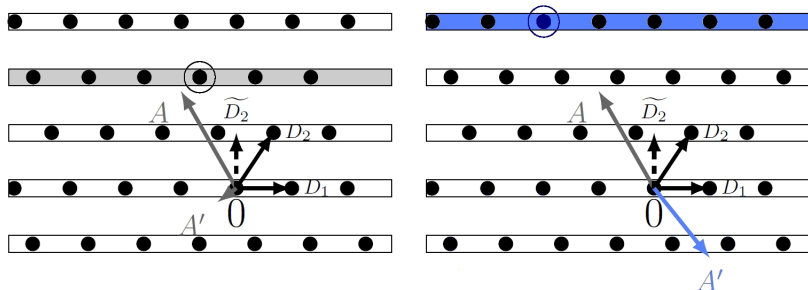


FIGURE – Réduction via Babai en dimension 2. Les hyperplans sélectionnés sont grisés ou entourés.

Non randomisé

Randomisé

$z = 1 \rightarrow$ translation $Z = (-1, 1)$

$$A' \leftarrow A_1 - c \times D_1$$

Nous présentons deux algorithmes pour **randomiser la multiplication**

- ▶ une entrée est randomisée afin de randomiser tous les résultats intermédiaires

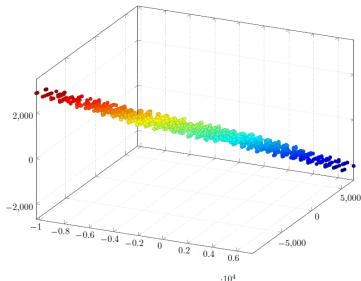


Fig. II.2 Vecteurs retournés pour 1000 exécutions de la multiplication randomisée via Babaï pour les mêmes entrées $\mathcal{B} = (p, n, \gamma, \rho)_E$ et $A, B \in \mathcal{B}$, avec $p = 45667$, $\gamma = 15943$, $E(X) = X^3 - X + 1$, $R(\gamma) = 44981 \pmod p$ et $z = 6$.

Avantages

Attaque de Goubin : sur des courbes qui ont au moins un point avec une coordonnée égale à zéro.

- ▶ quel que soit le type de courbe, **cette attaque ne peut être effectuée**

- ✓ au moins $(2z + 1)^n$ représentants distincts de $0 \in \mathbb{Z}/p\mathbb{Z}$ qui **n'ont pas de formes particulières**

Pour z assez grand, pas d'information exploitable pour effectuer cette attaque.

- ✓ Randomiser la conversion via Montgomery ou Babaï suffit à contrer l'attaque de Goubin
- ▶ elle opère au **niveau arithmétique**.

- ✓ peut être combinée avec d'autres contre-mesures classiques (point blinding, scalar blinding)

\mathcal{M} et \mathcal{A} : multiplication et addition de deux entiers de w -bits

\mathcal{J} : division par un entier de $2w + \lfloor \log_2(n) \rfloor$ bits

\mathcal{R} : coût d'un appel à la fonction `randPoly`

Nous notons respectivement \mathcal{S}_l^j et \mathcal{S}_r^j un décalage à gauche et un décalage à droite de i bits

Coût théoriques des opérations, quand $E(X) = X^n - \lambda$ avec $\lambda = \pm 2^u$, $r = 2^j$.

Méthode de mult.	type Montgomery	type Babaï
Mult. polynomiale	$n^2 \mathcal{M} + (3n^2 - 6n + 3) \mathcal{A}$	$n^2 \mathcal{M} + (3n^2 - 6n + 3) \mathcal{A}$
Réduction polynomiale	$3(n-1) \mathcal{A} + (n-1) \mathcal{S}_l^u$	$3(n-1) \mathcal{A} + (n-1) \mathcal{S}_l^u$
Réduction interne	$2n^2 \mathcal{M} + (4n^2 - n) \mathcal{A} + n \mathcal{S}_r^j$	$2n^2 \mathcal{M} + (6n^2 - 3n) \mathcal{A} + n \mathcal{I}$
Total	$3n^2 \mathcal{M} + (7n^2 - 4n) \mathcal{A} + (n-1) \mathcal{S}_l^u + n \mathcal{S}_r^j$	$3n^2 \mathcal{M} + (9n^2 - 6n) \mathcal{A} + n \mathcal{I} + (n-1) \mathcal{S}_l^u$
Méthode de mult.	Montgomery randomisé (Alg. 8)	Babaï randomisé (Alg. 9)
Mult. polynomiale	$2n^2 \mathcal{M} + (4n^2 - 7n + 3) \mathcal{A} + \mathcal{R}$	$3n^2 \mathcal{M} + (5n^2 - 8n + 3) \mathcal{A} + 2\mathcal{R}$
Réduction polynomiale	$3(n-1) \mathcal{A} + (n-1) \mathcal{S}_l^u$	$3(n-1) \mathcal{A} + (n-1) \mathcal{S}_l^u$
Réduction interne	$2n^2 \mathcal{M} + (4n^2 + n) \mathcal{A} + n(\mathcal{S}_r^j + \mathcal{S}_l^1)$	$2n^2 \mathcal{M} + (6n^2 - 2n) \mathcal{A} + n \mathcal{I}$
Total	$4n^2 \mathcal{M} + (8n^2 - 3n) \mathcal{A} + (n-1) \mathcal{S}_l^u + n(\mathcal{S}_l^1 + \mathcal{S}_r^j) + \mathcal{R}$	$5n^2 \mathcal{M} + (11n^2 - 7n) \mathcal{A} + n \mathcal{I} + (n-1) \mathcal{S}_l^u + 2\mathcal{R}$

Synthèse

- Exploitation de la redondance du PMNS pour définir des protections arithmétiques contre les attaques DPA
 - ✓ générer une représentation aléatoire suivant une loi uniforme
- Randomisation des entrées lors de la conversion vers le PMNS via deux méthodes
 - ✓ suffit pour se protéger contre l'attaque de Goubin
- Introduction de deux multiplications modulaires randomisées au sein du PMNS
 - ✓ ces méthodes peuvent être employées pour appliquer des contre-mesures classiques en ECC

Perspectives

- Étude plus approfondie sur l'efficacité pratique
- Comparaison exhaustive avec les contre-mesures existantes suivront bientôt afin d'établir quand ces méthodes sont les plus pertinentes

Plan

- Construction de systèmes PMNS pour un premier donné
- Randomisation de l'arithmétique sur le PMNS
- **Présentation d'un système de représentation hybride**
- Résolution réelle des systèmes polynomiaux flous
- Conclusion

Améliorer la réduction modulaire pour tous les premiers

Algorithmes existants

➤ Pour des premiers particuliers

- Plantard (2004) avec PMNS : un produit se réécrit $D = D_L + D_H 2^k$ avec $\|D_L\| < 2^k$, puis D mis à jour avec $D_L + D_H * M$ (temps quadratique)
- Bigou et Tisserand (2016) avec HPR : système hybride positionnelle-RNS : limité à $p = B_1^\alpha - \beta$. Réduction via une propagation de retenue (temps sous-quadratique)

➤ Pour tous les premiers

- Plantard (2005) avec PMNS : un produit se réécrit $D = D_L + D_H 2^{k-1}$ avec $\|D_L\| < 2^{k-1}$, puis D mis à jour avec $D_L + D'_H$, D'_H dans un tableau pré-calculé (temps quadratique)

➤ le choix de p , standardisé pour la plupart des applications cryptographiques, n'est pas toujours possible.

Idée

- Proposer un nouveau système de représentation hybride polynomial, HyPoRes
 - pour permettre des réductions efficaces pour tout premier

- Les éléments sont représentés dans un PMNS, avec les chiffres en RNS

Système HyPoRes

Paramètres

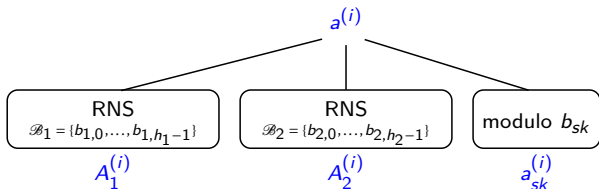
- ▶ Un sextuplet $\mathcal{H} = (p, n, \rho, \mathcal{B}_1, \mathcal{B}_2, b_{sk})$,
- ▶ β le plus petit entier qui n'est pas une puissance n -ième sur \mathbb{Z} ,
- ▶ mais qui possède une racine n -ième γ modulo p .

$$\mathcal{H} = (p, n, \rho, \mathcal{B}_1, \mathcal{B}_2, b_{sk})$$

$E(X) = X^n - \beta \in \mathbb{Z}[X]$, *polynôme de réduction*; unitaire de degré n

$a \pmod p \xrightarrow{\text{dans } \mathcal{H}} A = (a^{(0)}, \dots, a^{(n-1)})$, avec

et $E(\gamma) \equiv 0 \pmod p$



$$a \equiv \sum_{i=0}^{n-1} \left[\sum_{j=0}^{h_1-1} \xi_{i,1,j} \frac{B_1}{b_{1,j}} \right]_{B_1} \gamma^i \pmod p \quad \text{avec } \xi_{i,1,j} = \left[a_{i,1,j} \frac{b_{1,j}}{B_j} \right]_{b_{1,j}}, \quad |a^{(i)}| < \rho$$

Multiplication modulaire

Algorithme 3 Algorithme de multiplication modulaire

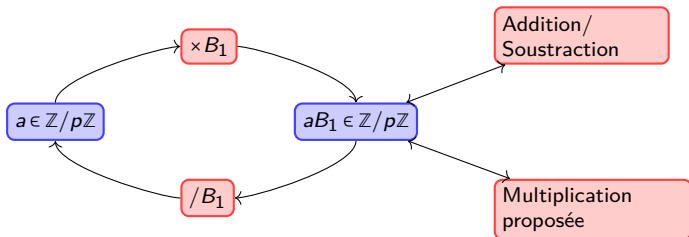
Require: $\|A\|_\infty, \|C\|_\infty < k\rho$

Require: $M' = -M^{-1} \bmod \mathcal{B}_1$

Ensure: $\|R\|_\infty < \rho$ avec $r = acB_1^{-1} \bmod p$

- | | | |
|--|---|---|
| 1: $D \leftarrow A \star C \bmod \mathcal{B}_1 \cup \mathcal{B}_2 \cup \{b_{sk}\}$ | } | $A \star C = AC \bmod (X^n - \beta)$ |
| 2: $Q_1 \leftarrow D \star M' \bmod \mathcal{B}_1$ | | Calcul du quotient q dans \mathcal{B}_1 |
| 3: $Q_2 \leftarrow \text{FastBConv}(q, \mathcal{B}_1) \bmod \mathcal{B}_2$ | } | Extension de q dans la base \mathcal{B}_2 |
| 4: $q_{sk} \leftarrow \text{FastBConv}(q, \mathcal{B}_1) \bmod b_{sk}$ | | } |
| 5: $R_2 \leftarrow \frac{D + Q_2 \star M}{B_1} \bmod \mathcal{B}_2$ | | |
| 6: $r_{sk} \leftarrow \frac{d_{sk} + q_{sk} \star M}{B_1} \bmod b_{sk}$ | } | Extension de r dans \mathcal{B}_1 |
| 7: $\alpha \leftarrow \left[(\text{FastBConv}(r, \mathcal{B}_2) - r_{sk}) B_2^{-1} \right]_{b_{sk}}$ | | |
| 8: $R_1 \leftarrow \text{FastBConvSK}(r, \mathcal{B}_2, \alpha) \bmod \mathcal{B}_1$ | | |
| 9: $R \leftarrow (R_1, R_2)$ | | |
| 10: return R | | |
-

- M de norme $\leq p^{1/n}$ existe dans \mathcal{H} (Lemme 1.2.1),
- Si $\mathcal{B}_1 = \{b_{1,0}, \dots, b_{1,h_1-1}\}$ est tel que tous les $b_{1,i}$ sont des premiers ne divisant pas $\text{resultant}(M, X^n - \beta)$ et $M \neq 0 \bmod B_1$, alors M inversible dans $\mathbb{Z}_{B_1}[X]/(X^n - \beta)$ (Lemme 1.2.2),
- L'algorithme de multiplication est correct (Théorème 1.2.3).



Autres opérations : addition, conversion utilisant la mult. et la base des $M \star X^i$, $0 \leq i \leq n$.

Complexité de la mult.

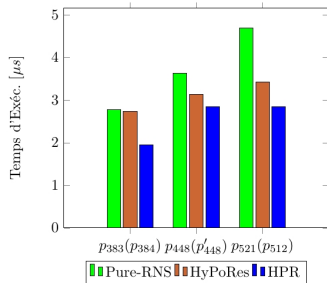
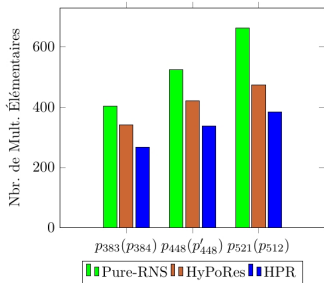
- multiplications par β : décalages et additions, ou au précalcul.
- opération \star : n^2 mult. pour chaque module.
- constantes dans le calcul des extensions intégrée aux précalculs.

Pour $n \sim h_1 \sim h_2 \sim \log_2^{1/2} p$:

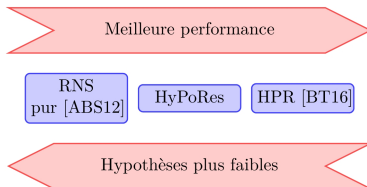
➤ HyPoRes : $\mathcal{O}(\log_2^{3/2} p)$ SMM.

En comparaison, avec des paramètres équivalents,

➤ HPR : $\mathcal{O}(\log_2^{3/2} p)$ SMM RNS-pure : $\mathcal{O}(\log_2^2 p)$



- HyPoRes a une meilleure évolutivité que RNS lorsque la taille des premiers augmente
- accélération maximale $\approx 1,4$ par rapport à RNS
- contrairement à HPR, HyPoRes peut être utilisé chaque fois que la factorisation du module sous-jacent est connue



Empêcher toute prédiction sur la consommation d'énergie

Généralisation du polynôme de réduction

- γ racine de $E(X) = e^{(0)} + \dots + e^{(n-1)}X^{n-1} + X^n$ modulo p , irréductible dans $\mathbb{Z}[X]$, avec de petits coefficients
- Existence d'une petite représentation non nulle de zéro M (Lemme I.2.1 indépendant de E)
- Mult. implémentée uniquement avec des décalages et des additions
 - complexité de l'Algorithme de mult. est conservée

Deux types de conversion

Paramètres pré-calculés dans plusieurs HyPoRes avec des E différents.

- Résistance aux DPA : randomiser au début de la mult.
 - Sélectionner un E aléatoire, une conversion du binaire vers HyPoRes est nécessaire.
- Résistance à des attaques de points : randomiser au cours de la mult.
 - Conversions entre HyPoRes avec un E différent

$$A' = A[0] + \sum_{i=1}^{n-1} \text{HyPoRes-mult}_{E'}(A[i], T_{E \rightarrow E'}[i]),$$

$$\text{avec } T_{E \rightarrow E'}[i] = \left[\gamma^i B_1 \right]_p \text{ dans } \mathcal{H}_{E'}$$

Synthèse

- Introduction d'un système hybride qui **supporte n'importe quelle valeur première**
 - ✓ compatible avec les courbes elliptiques standardisées
- **Réduction de la complexité** des extensions de base par rapport à ue approche RNS
 - ✓ accélération pouvant atteindre 1,4 lorsqu'il est comparé aux approches basées sur RNS
- Complexité en temps **sous-quadratique similaire à celle d'HPR**
- **Généralisation du polynôme de réduction**
 - ✓ introduction de représentations redondantes, procurant une protection contre les attaques SCA.

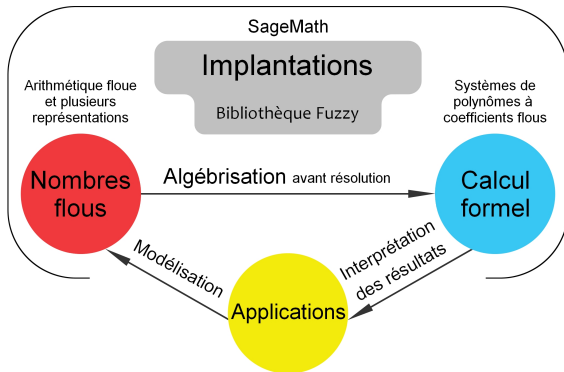
Perspectives

- Nouvelles optimisations : algorithme de Barrett pour la réduction au sein de HyPoRes
- Étude des bases RNS utilisées pour la randomisation

Plan

- Construction de systèmes PMNS pour un premier donné
- Randomisation de l'arithmétique sur le PMNS
- Présentation d'un système de représentation hybride
- Résolution réelle des systèmes polynomiaux flous
- Conclusion

Chercher les solutions réelles d'un système polynomial flou : crucial pour l'interpolation des fonctions floues



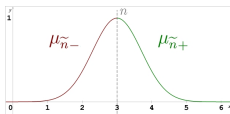
Méthodes connues avec des nombres flous spécifiques

- approches locales et globales se concentrent sur les nombres flous *triangulaires*

Notre approche

- pour tout nombre flou à support borné et de fonctions de dispersion bijectives, représentation tuple transformable en une autre représentation dite "paramétrique", où les coefficients ne sont plus flous mais réels.

Nombres flous : modéliser des problèmes aux données incertaines (Zadeh,1965)



Nombre flou \tilde{n}

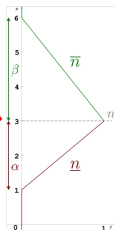
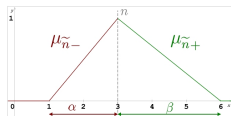
- Fonction d'appartenance : $\mu_{\tilde{n}}(x) \in [0, 1]$ représente le degré de validité de la proposition "x est la valeur de \tilde{n} "
 - ➡ n est le *mode*
- Avantages : capturer l'incertitude autour d'une valeur donnée

$$\text{Supp}(\tilde{n}) = \text{Supp}(\mu_{\tilde{n}}(x)) = \{a \in \mathbb{R} \mid \mu_{\tilde{n}}(a) \neq 0\}$$

Deux représentations

tuplet

$$(n, \alpha, \beta) \in \mathfrak{F}(L, R)$$



paramétrique

paire ordonnée de fonctions $[\underline{n}, \bar{n}]$

Calculer les solutions positives de

$$(E): \sum_{d \in \text{Expon}(E)} \tilde{n}_d x^d = \tilde{m}$$

Approche connue : coefficients flous triangulaires

- ① Calculer $\mathcal{C}(E)$ la forme tranchée de (E) : passer les coefficients en paramétrique
- ② Calculer $\mathcal{CC}(E)$ la forme tranchée collectée de (E) :

[BBRV2016] : Collecter les coefficients de $\mathcal{C}(E)$ en la variable r et constants

$$\mathcal{C}(E): \begin{cases} \sum_d \alpha_d x^d & = \alpha \\ \sum_d (n_d - \alpha_d) x^d & = m - \alpha \\ \sum_d \beta_d x^d & = \beta \\ \sum_d (n_d + \beta_d) x^d & = m + \beta . \end{cases}$$

↪ $\mathcal{CC}(E)$ a 4 équations à coefficients réels et k indéterminés.

$$\text{Sol}^+(E) = \text{Sol}^+(\mathcal{CC}(E))$$

Peut être résolu avec des techniques algébriques

Theorem (1)

Le *système tranché général* $\mathcal{C}(E)$ de (E) est donné par :

$$\mathcal{C}(E) : \begin{cases} \sum_d n_d x^d - m + (\alpha - \sum_d \alpha_d x^d) u & = 0 \\ \sum_d n_d x^d - m + (-\beta + \sum_d \beta_d x^d) v & = 0, \end{cases}$$

et $\text{Sol}^+(E) = \text{Sol}_k^+(\mathcal{C}(E))$

Fonctionne pour L et R **bijectives**, avec $u = L^{-1}(r)$ and $v = R^{-1}(r)$.

Déduire un nouveau système tranché collecté

Theorem (2)

La *transformation réelle* $\mathcal{T}(E)$ de (E) est le système polynomial suivant sur \mathbb{R} :

$$\mathcal{T}(E) \begin{cases} \sum_{d \in \text{Expon}(E)} n_d x^d & = m \\ \sum_{d \in \text{Expon}(E)} \alpha_d x^d & = \alpha \\ \sum_{d \in \text{Expon}(E)} \beta_d x^d & = \beta. \end{cases}$$

et $\text{Sol}^+(E) = \text{Sol}^+(\mathcal{T}(E))$

$$F_1 : \begin{cases} (2,1,1)xy + (3,1,1)x^2y^2 + (2,1,1)x^3y^3 = (7,3,3) \\ (5,1,1)xy + (2,3,1)x^2y^2 + (2,2,1)x^3y^3 = (9,6,3) \end{cases}$$

$$\mathcal{F}(F_1) : \begin{cases} 2xy + 3x^2y^2 + 2x^3y^3 = 7 \\ xy + x^2y^2 + x^3y^3 = 3 \\ xy + x^2y^2 + x^3y^3 = 3 \\ 5xy + 2x^2y^2 + 2x^3y^3 = 9 \\ xy + 3x^2y^2 + 2x^3y^3 = 6 \\ xy + x^2y^2 + x^3y^3 = 3 \end{cases}$$

Solutions de $F_1 = \{(x, 1/x) \mid x \geq 0\}$

Rappelons $\mathcal{CC}(F_1)$ est

$$\begin{cases} xy + x^2y^2 + x^3y^3 - 3 = 0 & xy + 3x^2y^2 + 2x^3y^3 - 6 = 0 \\ xy + 2x^2y^2 + x^3y^3 - 4 = 0 & 4xy - x^2y^2 - 3 = 0 \\ xy + x^2y^2 + x^3y^3 - 3 = 0 & xy + x^2y^2 + x^3y^3 - 3 = 0 \\ 3xy + 4x^2y^2 + 3x^3y^3 - 10 = 0 & 6xy + 3x^2y^2 + 3x^3y^3 - 12 = 0 \end{cases}$$

Obtenir les solutions réelles de E

Solutions réelles

Impossible de passer $\widetilde{n}_d x^d$ en paramétrique sans connaître le signe de x^d

➔ la forme paramétrique dépend du signe du scalaire :

$$q \cdot \widetilde{n} = \begin{cases} [q \cdot \underline{n}, q \cdot \overline{n}] & \text{si } q \geq 0, \\ [q \cdot \overline{n}, q \cdot \underline{n}] & \text{si } q \leq 0 \end{cases}$$

Idée

Introduire un k -uplet artificiel $I \in \{-1, 1\}^k$ pour les signes des indéterminés.

➤ I^d multiplié par le coefficient \widetilde{n}_d et x supposé positif

Theorem

Soit (S) un système flou à coefficients dans une même famille $\mathfrak{F}(L, L)$.

$$\text{Sol}(S) = \bigcup_{I \in \{-1, 1\}^k} I \otimes \text{Sol}^+(\mathcal{T}(S(I))).$$

Implémenter : calcul des solutions réelles

Version naïve de l'algorithme : 2^k systèmes à résoudre. Certaines sont identiques.

Automatiser la reconnaissance de systèmes induits identiques

Optimisation de l'algorithme

- identifier les systèmes avec des coefficients identiques (matrice de signe)
- détection rapide de systèmes induits identiques à une permutation des équations près

j	I	lb[j]	SPos[j]	returned solutions
0	[-1,-1]	0	set([(1/y, 'R+')])	set([(1/y, 'R-')])
1	[-1,1]	1	set([])	set([])
2	[1,-1]	1	SPos[1]	set([])
3	[1,1]	0	SPos[0]	set([(1/y, 'R+')])

Les solutions non vides sont ajoutées dans la variable `sol` contenant les solutions réelles du système flou F_1 :

```
sol = set([(1/y, 'R+'), (1/y, 'R-')])
```

Nous trouvons bien la variété $V(F_1) = \{(x = \frac{1}{y}, y) \mid y \in \mathbb{R} \setminus \{0\}\}$.

Synthèse

- Renforcer l'approche de résolution : de nouveaux résultats indépendants des fonctions de dispersion L-R.
 - ✓ pas nécessaire de développer des calculs intermédiaires sur les représentations paramétriques
- Introduction de la transformation réelle $T(S)$
 - ✓ système tranché collecté à coefficients réels avec seulement 3s équations au lieu de 4s.
- Extension des résultats aux familles de nombres flous non triangulaires
- Trouver les solutions réelles de systèmes à partir des solutions positives de systèmes induits
 - ✓ introduction d'un algorithme qui réduit le nombre de systèmes à résoudre

Perspectives

- Une parallélisation de l'algorithme est possible

Plan

- Construction de systèmes PMNS pour un premier donné
- Randomisation de l'arithmétique sur le PMNS
- Présentation d'un système de représentation hybride
- Résolution réelle des systèmes polynomiaux flous
- Conclusion

Conclusion

- ▶ Introduction de nouveaux systèmes PMNS, avec une arithmétique efficace
 - ✓ systèmes avec leurs propres propriétés de calcul, méthodes pour déterminer le nombre de systèmes constructibles
- ▶ Exploitation de la redondance intrinsèque des PMNS
 - ✓ randomiser les représentations des données au cours des calculs, résistance à des attaques SCA et à des attaques spécifiques de points pour ECC
- ▶ Introduction d'un système hybride, avec une arithmétique plus efficace
 - ✓ fonctionne pour tous les premiers, extensible au calculs en ECC, possibilité d'introduire des représentations redondantes
- ▶ Méthode de résolution réelle des systèmes flous avec moins d'équations
 - ✓ résultats étendus à tous les nombres flous de type L - R , automatisation de la recherche des solutions, optimisation de l'algorithme

Merci !